

Оригінальні дослідження

© Боднар О.Б., 2011

УДК 616.346.5:616.346-089-019

СТАН APUD-СИСТЕМИ КЛУБОВО-СЛІПОКИШКОВОГО СЕГМЕНТА ПРИ ЕКСПЕРИМЕНТАЛЬНІЙ ПАТОЛОГІЇ

O.Б.Боднар

Кафедра дитячої хірургії та отоларингології (зав. – проф. Б.М.Боднар) Буковинського державного медичного університету, м. Чернівці

Резюме. Проведено експериментальне моделювання первинної і вторинної недостатності ілеоцекального замикального апарату, резекції ілеоцекального відділу кишечнику та ілеоцекальної інвагінації. Вивчено стан APUD-системи клубово-сліпокишкового сегмента при моделюванні його хірургічної патології.

Ключові слова: клубово-сліпокишковий сегмент, експеримент, APUD-система.

Хвороби клубово-сліпокишкового сегмента (КСС) посідають одне з провідних місць в абдомінальній хірургії дитячого віку. Розрізняють первинну (ПНІЦЗА) і вторинну (ВНІЦЗА) недостатність ілеоцекального замикального апарату, ілеоцекальну інвагінацію (ІІ), захворювання (пухлини, хвороба Крона, неспецифічний виразковий коліт, тотальна форма агангліозу при хворобі Гіршпрунга), які потребують резекції ілеоцекального відділу кишечнику (ІВК) [1-5].

APUD-система (Amine Precursors Uptake and Decarboxylating system) – сукупність клітин із загальним ембріональним походженням, які здатні виробляти і нагромаджувати біогенні аміни та (або) пептидні гормони. Враховуючи, що майже половина клітин APUD-системи розташована в шлунково-кишковому тракті, її роль у розвитку захворювань КСС очевидна, проте її стан при хірургічній патології КСС у дітей практично не вивчений [6, 7].

Мета дослідження. Вивчити стан APUD-системи КСС при експериментальному моделюванні його патологічних станів.

Матеріал і методи. Експериментальні дослідження виконані на 150 інфантильних щурах лінії Wistar масою тіла 100 ± 20 мг. Під час експерименту дотримувалися міжнародних принципів Хельсинської декларації про гуманне

ствалення до тварин. Всі дослідження проводили на фоні внутрішньоочеревинного введення етаміналу (40 мг/кг). Моделювали ПНІЦЗА (25 щурів) та ВНІЦЗА (25), проводили резекцію ІВК (25) та ІІ (25), транслокацію ІВК (25).

Техніка моделювання первинної недостатності ілеоцекального замикального апарату. На передній поверхні ілеоцекального переходу виконували поздовжній розріз з роз'єданням серозно-м'язового шару баугінієвої заслінки (без ушкодження слизової оболонки). Розріз продовжували на сліпу та клубову кишки по 0,5 см. Пошарово зашивали операційну рану.

Техніка моделювання вторинної недостатності ілеоцекального замикального апарату. ВНІЦЗА викликали шляхом моделювання спайкового процесу в ділянці КСС завдяки пошикодженню (щіткою) мезотелію вісцеральної очеревини в ділянці ілеоцекального кута аж до появи "кров'яної роси".

Техніка резекції ілеоцекального відділу кишечнику. Після обробки операційного поля проводили нижню серединну лапаротомію. В рану виводили ІВК. Виконували його мобілізацію шляхом лігування судин нитками vicril 4/0. Проводили резекцію ІВК з формуванням кукси товстої кишки безперервним та кисетним швами (vicril 5/0). Накладали ілеослендоанастомоз "кінець у

"бік" однорядними вузловими інвертованими швами (PDS 6/0). Рану пошарово зашивали.

Техніка моделювання ілеоцекальній інвагінації. Проводили нижню серединну лапаротомію. Через анальний канал у термінальний відділ клубової кишki на 2-3 см від ілеоцекального переходу вводили катетер Nelaton № 8, який фіксували проведеною попри брижові судини капроновою ниткою (3/0) на його кінцевому отворі. Виконували зовнішню тракцію катетера, тим самим занурюючи клубову кишку в сліпу на глибину 2-2,5 см. Операційну рану накривали серветкою з хлоргексидином. Упродовж 30 хв розвивався набряк інвагінату. Катетер вилучали, виконували дезінвагінацію. Черевну порожнину пошарово зашивали.

Техніка транслокації ілеоцекального відділу кишечнику. Проводили нижню серединну лапаротомію. В рану виводили IBK. Пересікали клубову кишку (КК) на відстані 4 см від баугінієвої заслінки зі збереженням судин брижі. Формували дистальну куксу КК безперервним та кисетним швами (PDS 5/0). Пересікали висхідну ободову кишку на відстані 4 см від баугінієвої заслінки. Формували проксимальну куксу товстої кишki безперервним та кисетним швами (PDS 5/0). Відновлювали прохідність кишечнику шляхом накладання ілеоасцендоанастомозу "кінець у бік" між проксимальною ділянкою КК та дистальною ділянкою товстої кишki однорядними вузловими інвертованими швами (PDS 6/0). В рану виводили петлю порожньої кишki на відстані 8 см від дванадцяталої кишki. Накладали анастомоз між порожньою та сліпою кишками вузловими інвертованими швами (PDS 6/0) до 0,3 см у діаметрі. Рану пошарово зашивали.

Декапітацію щурів виконували через 30 діб після моделювання ПНІЦЗА, ВНІЦЗА, резекції IBK та транслокації IBK. Забій тварин після моделювання ІЦІ проводили через 4 год після дезінвагінації, що відповідало умовам гострого експерименту. Для морфологічного дослідження вирізали фрагменти клубової і сліпої кишок та власне IBK з баугінієвою заслінкою. Зразки кишкової стінки фіксували в 10% розчині нейтрального формаліну. Після традиційного проведення шматочки заливали в парафін. На ротаційному мікротомі виготовляли зрази товщиною 3-5 мкм, які фарбували гематоксиліном та еозином.

Для виявлення секреторних гранул у цитоплазмі апудоцитів проводили реакції: 1) аргірофільну, яка заснована на здатності клітин нагромаджувати іони срібла з розчину, але металеве срібло з'являється лише після додавання зовнішнього відновника; метод Гримеліуса, при якому продукт позитивної реакції відкладається в цитоплазмі у вигляді дрібних коричневочорних зерен; 2) аргентафінну, яка заснована на наявності в клітинах речовин, здатних самостійно відновлювати іони срібла з аміачного розчину до металевого срібла; реакція Массона в модифікації Гамперля, при якій аргентафінні речовини – темно-коричневі (інколи з різними відтінками) на жовтому фоні, ядра червоні.

Підрахунок кількості ендокринних клітин проводили за допомогою світлового мікроскопа Olympus-CX 41 шляхом визначення середньої кількості апудоцитів у 10 полях зору кожного зразку при збільшенні х200. Статистичну обробку результатів проводили з використанням *t*-критерію Стьюдента. Відмінності вважали статистично вірогідними при рівні надійності 0,05 і вище.

Результати дослідження та їх обговорення. У тварин контрольної групи ендокринні клітини (APUD-клітини), гранули яких забарвлюються сріблом за Гримеліусом та Масоном-Гамперлем, у залозах слизової оболонки представлені у великій кількості. Гранули розміщені як у базальній, так і в апікальній частині клітин. Вони мають різну форму, охоплюють більшу частину клітини, що свідчить про нормальну секреторну активність ендокринних клітин. Середня кількість апудоцитів у слизовій оболонці ілеоцекального кута в контрольній групі становила $326 \pm 16,8$.

При моделюванні ПНІЦЗА у слизовій оболонці спостерігалося зменшення кількості APUD-клітин (рис. 1), які виявлялися лише в окремих залозах. Секреторні гранули цих клітин малі, охоплювали невелику частину клітин, тобто функціональна активність APUD-клітин була зниженою. Середня кількість апудоцитів у даній групі становила $82 \pm 4,8$, що значно менше, ніж в контрольній групі, але вірогідно більше, ніж в групі резекції IBK ($p < 0,05$).

При моделюванні ВНІЦЗА спостерігалося як зменшення кількості апудоцитів (рис. 2), так і зниження їхньої функціональної активності, про що свідчать розміри аргірофільних гранул.

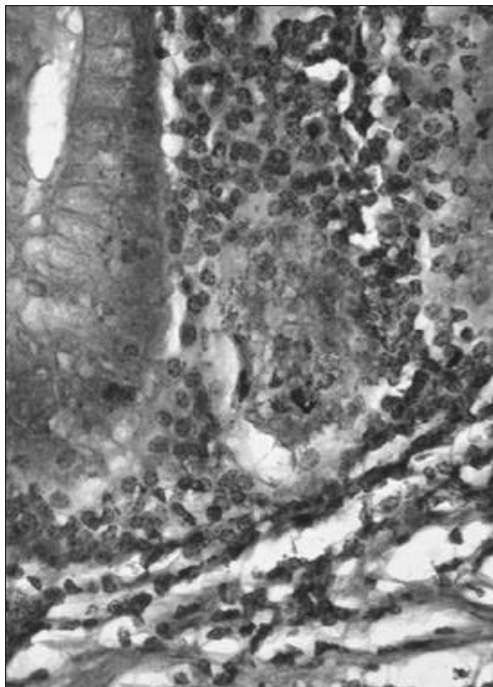


Рис. 1. Кишкова стінка з ділянки баугінієвої заслінки на 30-ту добу після моделювання первинної недостатності ілеоцекального замикального апарату. Мала кількість апудоцитів з дрібними секреторними гранулами. Мікропрепарат. Забарвлення за методом Гримеліуса. Зб. 400 \times .

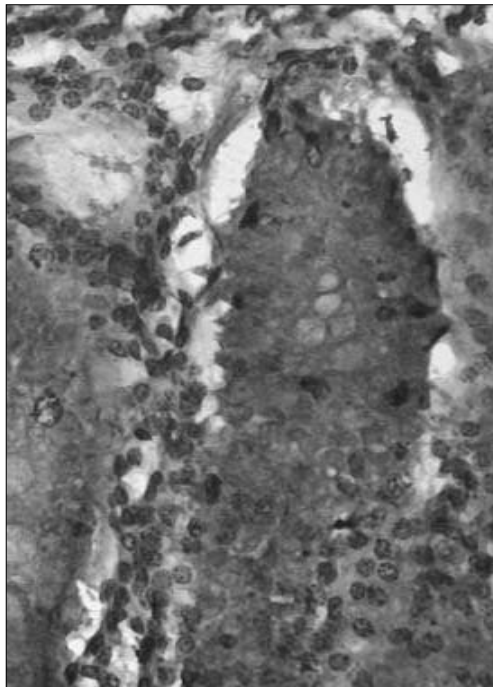


Рис. 2. Кишкова стінка з ділянки баугінієвої заслінки на 30-ту добу після моделювання вторинної недостатності ілеоцекального замикального апарату. Мала кількість апудоцитів у залозах слизової оболонки. Мікропрепарат. Забарвлення за методом Гримеліуса. Зб. 400 \times .

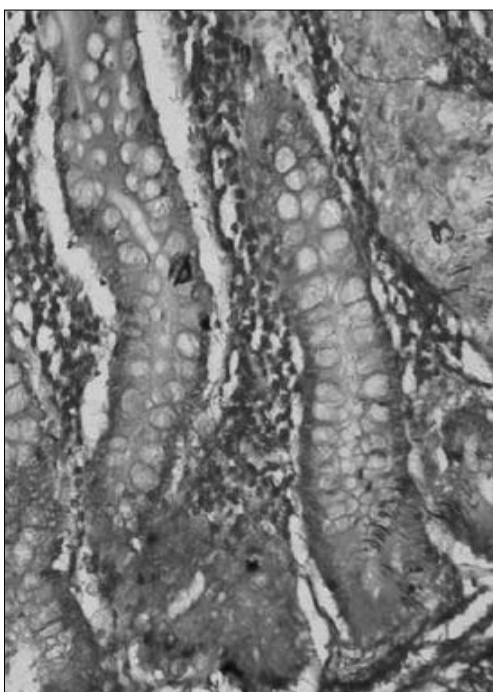


Рис. 3. Кишкова стінка з ділянки ілеоколоноанастомозу на 30-ту добу після резекції ілеоцекального відділу кишечнику. Істотне зменшення кількості апудоцитів, дрібні аргірофільні гранули. Мікропрепарат. Забарвлення за методом Гримеліуса. Зб. 400 \times .

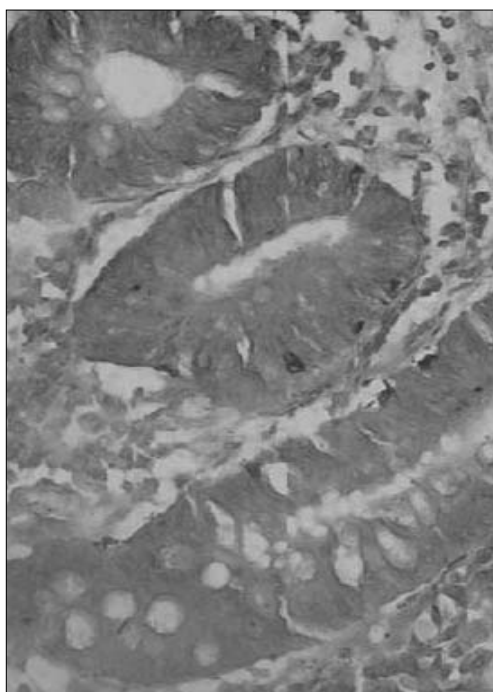


Рис. 4. Ілеоцекальна інвагінація (гострий експеримент). Кишкова стінка ілеоцекального кута через 24 години після дезінвагінації. Поодинокі апудоцити в залозах. Мікропрепарат. Забарвлення за методом Гримеліуса. Зб. 400 \times .

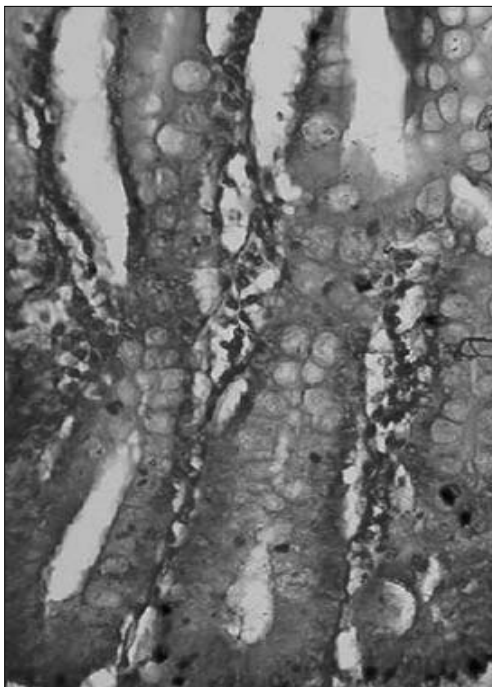


Рис. 5. Кишкова стінка ілеоцекального відділу на 30-ту добу після його транслокації. Помірна кількість апудоцитів у залозах слизової оболонки. Мікропрепарат. Забарвлення за методом Гримелюса. Зб. 400 \times .

Кількість APUD-клітин у даній групі становила $62 \pm 8,4$, що вірогідно менше, ніж в контрольній групі.

При резекції ІВК спостерігається більш виражене зменшення кількості апудоцитів (рис. 3). Аргірофільні та аргентафінні гранули в них дрібні, заповнювали невелику частину клітини, тобто активність ендокринних клітин була значно зниженою. Середня кількість апудоцитів у слизовій оболонці ілеоколоноанастомозу стала $56 \pm 6,8$.

При ІЦ виявлена майже повна відсутність APUD-клітин у залозах (рис. 4). Аргентафінна реакція за Масоном-Гамперлем не виявила апудоцитів у слизовій оболонці кишкової стінки, а при забарвленні за Гримелюсом лише в окремих залозах були виявлені поодинокі APUD-

клітини з невеликими базально розміщеними аргірофільними гранулами. Отже, морфофункциональна активність клітин APUD-системи у даній групі тварин була різко знижена за рахунок некрозу слизової оболонки. Слід зазначити, що у тих випадках, де некроз не був тотальним, у кишковій стінці збереглися ділянки слизової оболонки, а картина при забарвленні за Гримелюсом відрізнялася від аналогічного забарвлення в попередніх групах, в яких не спостерігалося некротичних змін – слизова була не жовтувато-помаранчевого кольору, а коричневого, осікльки слизова в стані переднекротичної стадії по-іншому сприймає барвник.

При транслокації ІВК у слизовій оболонці кишкової стінки виявлена помірна кількість апудоцитів (рис. 5), переважно в базальних відділах залоз, де клітини розміщені як окремо, так і групами. Середня кількість APUD-клітин становила $180 \pm 26,4$, що менше ніж у контрольній групі, але вірогідно більше в порівнянні з рештою серій експерименту.

Висновки. 1. Порушення анатомічної цілісності ілеоцекального відділу кишечнику (моделювання первинної і вторинної недостатності ілеоцекального замикального апарату, його резекція) призводять до зменшення кількості апудоцитів та пригнічення APUD-системи. 2. При моделюванні ілеоцекальної інвагінації APUD-система ілеоцекального відділу кишечнику зазнає найбільших змін, що пов'язано з некрозом слизової оболонки. 3. Транслокація ілеоцекального відділу кишечнику супроводжується найменшими змінами в APUD-системі (відсутність порушення його анатомічної структури).

Перспективи наукового пошуку. На підставі проведених досліджень доцільно розробити та вивчити методи корекції порушень APUD-системи при моделюванні захворювань клубово-сліпокишкового сегмента в експерименті, що буде підставою для застосування їх в клінічній практиці.

Література

1. Грищенко Є.М. Дивертикул Меккеля та його ускладнення в хірургії дитячого віку / Є.М.Грищенко, М.І.Грищенко // Хірургія дит. віку. – 2006. – № 2. – С. 60-64.
2. Дронов А.Ф. Послеперационные спаечные осложнения после лапароскопической хирургии у детей / А.Ф.Дронов, В.И.Котлововский, А.Н.Смирнов [и др.] // Хірургія им. Н.І.Пирогова. – 2008. – № 10. – С. 54-59.
3. Клеменов А.В. Недостаточность баугиниевой заслонки как висцеральное проявление недифференцированной дисплазии соединительной ткани [Електронний ресурс] / А.В.Клеменов, В.Л.Мартынов, Н.С.Торгушина // Тер. арх. – 2003. – № 4. – Режим доступу до журн.: <http://www.medlit.ru/medrus/ta030444.htm>.
4. Сушко В.І. Дивертикул Меккеля у дітей /

B.I.Сушко, Є.I.Нагорний, О.М.Барсук [та ін.] // Хірургія дит. віку. – 2004. – № 4. – С. 20-23. 5. Щитинин В.Е. Лечебная тактика при кишечной инвагинации в детском возрасте / В.Е.Щитинин, М.И.Пыков, С.А.Коровин [и др.] // Хірургія им. Н.І.Пирогова. – 2008. – № 2. – С. 54-57. 6. Cervantes-Pahm S.K. Ileal digestibility of amino acids in conventional, fermented, and enzyme-treated soybean meal and in soy protein isolate, fish meal, and casein fed to weanling pig / S.K.Cervantes-Pahm, H.H.Stein // J. Anim. Sci. – 2010. – Vol. 20, № 5. – P. 39-44. 7. Ferro C.O. Catalase activity in lung, kidney and small bowel non-ischemic in rats after intestinal reperfusion / C.O.Ferro, V.L.Chagas, M.F.Oliveira [et al.] // J. Rev. Col. Bras. Cir. – 2010. – Vol. 37, № 1. – P. 31-38.

СОСТОЯНИЕ APUD-СИСТЕМЫ ПОДВЗДОШНО-СЛЕПОКИШЕЧНОГО СЕГМЕНТА ПРИ ЭКСПЕРИМЕНТАЛЬНОЙ ПАТОЛОГИИ

Резюме. Проведено экспериментальное моделирование первичной и вторичной недостаточности ileocecalного замыкательного аппарата, резекции ileocekalного отдела кишечника и ileocekalной инвагинации. Изучено состояние APUD-системы подвздошно-слепокишечного сегмента при моделировании его хирургической патологии.

Ключевые слова: подвздошно-слепокишечный сегмент, эксперимент, APUD-система.

THE CONDITION OF THE APUD-SYSTEM OF THE ILEOCECAL SEGMENT IN EXPERIMENTAL PATHOLOGY

Abstract. Experimental modeling of primary and secondary insufficiency of the ileocecal obturative apparatus, resection of the ileocecal portion of the intestine and ileocecal invagination have been carried out. The state of the APUD-system of the ileocecal segment has been studied in case of simulating its surgical pathology.

Key words: ileocecal segment, experiment, APUD-system.

Bukovinian State Medical University (Chernivtsi)

Надійшла 17.11.2010 р.
Рецензент – д. мед. н. В.В.Білоокий (Чернівці)